

Temporal Logicに基づくシステム記述と推論

房岡璋 世木博久 高橋和子
(三菱電機中央研究所)

I. はじめに

ダイナミカル・システムの挙動を記述し、システムの諸性質を解析する一方法として、Temporal Logicに基づいた方法論について述べる。例として、簡単なプラント・コントローラを取り上げ、その制御規則の自動作成ができるることを示す。

従来プラント・システムを記述する方法として、例えば ladder diagram や特殊なプログラミング言語等が用いられているが、これらは推論方法に欠けるため、複雑なシステムを取り扱う場合には不十分であることが多い。システムを設計する際、設計者はシステムのダイナミカルな挙動を把握して、設計が要求仕様を満足していることを検証しなければならない。従って、システムの挙動を適切にモデル化して記述でき、システムの諸性質を論理的に推論できるような記述・推論体系が必要とされる。

ここでは記述・推論体系の基礎として Temporal Logic を用いる。プラント・コントローラのようすシステムを対象とする場合は、そのダイナミクス、つまりシステムの時間的に推移する様々な性質を扱うことになる。例えばシステム・オペレータはシステムを初期状態から目標とする最終状態に導くにはどのように制御すれば良いかを考える。すなむち、制御の自動作成が問題となる。またシステムが現在の状態にあるのは、いかなる経路を辿ったかを推論する必要もおこる。これは causal argument と言われる。また逆に、システムが現在の状態からどのような異なった

状態に到達しうるかを導く qualitative simulation の問題もある。この種の問題は、システム・ダイナミクスに内在する因果関係について、backward あるいは forward に推論を繰り返し行なうことによって解かれる。そのために、ここで “ ω -graph” というシステム・ダイナミクスのグラフ表現を導入する。これにより上に述べた問題は、 ω -graph 上の簡単な決定問題に帰着されることを示す。

II. Temporal Logicによるシステム表現

A. システム記述

最初にここで用いる Temporal Logic (TL と略す) [1]について簡単に説明する。TL は古典論理に時間の概念を陽に導入したものである。様相オペレータとしてここでは、 \Box (always), \Diamond (eventually), \circ (next), \cup (until) の四つを用いるが、その意味は次の通りである。

$\Box P$: いつも P が成り立つ。

$\Diamond P$: いつかは P が成り立つ。

$\circ P$: 次の時刻に P が成り立つ。

$P \cup Q$: Q が成り立つ (最初の) 時刻まで P が成り立つ。

一般に、対象とするシステムは様々な抽象的レベルで記述できる。ここでは、システムはいくつかの object から構成されており、それらは階層構造をもつと考える。トップレベルに於いては、システムは二つの object : コントローラと被制御対象から成っているとする。各 object は “flag” と呼ばれる内部状態を持つ。object の flag は、

他の object からは見えないとする。 object は他の object に対して X メッセージを送ることができ、これをその object の “action” と呼ぶ。 action は次の形で表現する。

if S then X←m

ここで S は object の flag を表わす述語であり、 X は X メッセージ m を送る相手の object であって、上式は、“ S が満足されている時はいつも action X←m を行なう” と解釈される。 action は一単位時間内に完了するもの（これを “event” と呼ぶ）と考える。コントローラの制御規則は、 event を用いた次のような式の集合で与えられるとする。

if p_i then A_i (i=1,...,n)

但し、 p_i は論理式で、 A_i は event を表わす。上式は次の TL における式と同じであると解釈する。

$\square(p_1 \supset A_1) \wedge \cdots \wedge (p_n \supset A_n)$

ダイナミカル・システムの簡単な例として温度調節コントローラを持つボイラーを考える（Figure 1）。

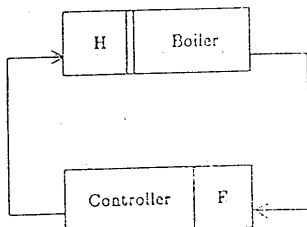


Fig.1 A model of boiler

ボイラーは、水温の状態を示す次式で規定される五つの内部状態 E_i (i = 1, ..., 5) を持つとする。

$$\begin{aligned} (E_1 &\equiv \theta < \alpha); & (E_2 &\equiv \theta = \alpha); \\ (E_3 &\equiv \alpha < \theta < \beta); & (E_4 &\equiv \theta = \beta); \\ (E_5 &\equiv \beta < \theta) \end{aligned}$$

但し、 $\alpha, \beta (\alpha < \beta)$ は、ある一定の温度を表わす。ボイラーは更に、点火

の状態を示すもう一つの別の内部状態 H をもつ。ある時点で H が ON ならばボイラーは、いつかは水温がより高い状態に移るとする。ボイラーが点火するのは、コントローラからメッセージ “ON” を受け取った時だけ、点火を止めるのは、メッセージ “OFF” を受け取った時に限る。ボイラーがその内部状態を E から E' に変える時は、コントローラの flag にメッセージ E' を送る。コントローラはその内部状態 H をボイラーからメッセージを受け取った時にのみ変えるとし、その時ボイラーに X メッセージを送る。

以上のようなシステム・ダイナミクスを下して定式化すると以下のように表現できる。

FRAME AXIOMS

- $\square[E_1 \vee E_2 \vee E_3 \vee E_4 \vee E_5]$
- $\square[\neg(E_i \wedge E_j)] \quad \text{for each } i, j (i \neq j)$
- $\square[F_0 \vee F_1 \vee F_2 \vee F_3 \vee F_4 \vee F_5]$
where $F_i = F \leftarrow E_i$ ($i = 1, \dots, 5$)
and $F_0 = \neg(F \leftarrow E_1) \vee (F \leftarrow E_2) \vee \cdots \vee (F \leftarrow E_5)$
- $\square[\neg(F_i \wedge F_j)] \quad \text{for each } i, j (i \neq j)$
- $\square[E_i \wedge O E_j \equiv F_j] \quad \text{for each } i, j (j = i \pm 1)$
- $\square[H \vee \neg H]$

MESSAGE PASSING

- $\square[X \leftarrow m \supset X = m]$
- $\square[X = m \supset X = m \cup X \leftarrow m']$
where X is a flag and m and m' are messages ($m \neq m'$)

DYNAMICS

- $\square[E_1 \wedge \neg H \supset O E_1 \wedge F_0]$
- $\square[E_1 \wedge H \cup E_2 \supset \diamond(E_1 \wedge O E_2 \wedge F_2) \wedge E_1 \cup E_2]$
- $\square[E_2 \wedge \neg H \supset O E_1 \wedge F_1]$
- $\square[E_2 \wedge H \supset O E_3 \wedge F_3]$
- $\square[E_3 \wedge \neg H \cup E_2 \supset \diamond(E_3 \wedge O E_2 \wedge F_2) \wedge E_3 \cup E_2]$
- $\square[E_3 \wedge H \cup E_4 \supset \diamond(E_3 \wedge O E_4 \wedge F_4) \wedge E_3 \cup E_4]$
- $\square[E_4 \wedge \neg H \supset O E_3 \wedge F_3]$
- $\square[E_4 \wedge H \supset O E_5 \wedge F_5]$
- $\square[E_5 \wedge \neg H \cup E_4 \supset \diamond(E_5 \wedge O E_4 \wedge F_4) \wedge E_5 \cup E_4]$
- $\square[E_5 \wedge H \supset O E_5 \wedge F_0]$

B. 要求仕様の TL による表現

ダイナミカル・システムの要求仕様としてよく扱われる性質としては、実現可能性、安定性、観測可能性がある。

1. 実現可能性

実現可能性 (eventuality) とは、システムが初期状態から出発して、制御規則によって将来望ましい状態を実現しうるという要請である。これは TL では次式のようく表現される。

Initial condition $\vdash \diamond(\text{the final state})$

2. 安定性

安定性 (stability) とは、システムがある状態に到達した後、引き続いてその状態をとり続けるという要請であり、

$\Diamond \vdash \Box \Diamond$

と表現される。通常、実現可能性と安定性は一緒に使われて、次式のように書かれることが多い。

Initial condition $\vdash \diamond \Box (\text{the final state})$.

3. 観測可能性

観測可能性 (observability) とは、被制御対象の状態をしかるべき遅延のうちにコントローラが観測しうるという要請である。この条件は、被制御対象の任意の状態 E に対して、あるコントローラの状態 F が存在して、

$\Box(E = a) \vdash (\neg R \cup (F = a) \wedge \diamond(F = a))$

と表わされる。ここで a は状態のとる値であり、 R は適当な遅延条件に対応する式とする。

被制御対象の状態は、その状態に到達する前にコントローラに伝えられてもよい。この時には、条件は次式のようく表わされる。

$\Box(F = a) \vdash (\neg R \cup (E = a) \wedge \diamond(E = a))$

III. 推論方法

A. w-graph

TL によって表現されたシステムの諸性質について推論を行なうために、そのモデルを構成することからはじめ

る。そのためには、ここでは “w-graph” と呼ぶグラフを導入する。w-graph は様相論理における tableau method [2] に基づいている。TL の式 F が与えられたとき、まず最初に F を現在の時点に関する部分と、次の時点以降の部分とに分解する。すなはち、 F を論理的に等しい

(1) $V_i : (A_i \wedge \diamond B_i)$

の形に変形する。ここで A_i はリテラルの積あるいは true であるとする。この分解の規則 (decomposition rules) としては次のようすものを用いる。

$$\begin{array}{ll} \Box F \rightarrow F & \wedge \quad \diamond \Box F \\ \Diamond F \rightarrow F & \vee \quad \{\neg F \wedge \diamond(\diamond F, F)\} \\ F_1 \cup F_2 \rightarrow F_2 & \vee \quad \{\neg F_2 \wedge F_1 \wedge \diamond(F_1 \cup F_2)\} \end{array}$$

ここで、 $\diamond F$ に対する分解規則に於ける $(\diamond F, F)$ のような式を、“マーク付き式”と呼ぶことにする。このマークは、 F が将来のある時点では必ず実現されなくてはならないという要請を表わすためにつける。

F の w-graph とは、 F のモデルのグラフ表現であり、グラフの各頂点が TL の式に対応し、各弧にはその時点で成立するリテラルが付随している。w-graph の構成の仕方は次の通りである。

1) F に対応する頂点 N_0 をつくる。これを initial node と呼ぶ。

2) F を (1) の形に分解し、式 B_i に対応する頂点 N_i がすでにあれば、 N_0 から N_i へラベル A_i をつけた弧をつくる。もし N_i がなければ、新たにつくる。

3) 各 N_i に対し、今度はそれを initial node として、もはや新たな頂点・弧がつくられなくなるまで 2) を繰り返す。

ここで、各弧につけられたリテラルをその弧の “handle” と呼ぶことにする。また、マークの付いた式に対応する頂

点を“transitive node”，他の頂点を“ ω -node”と言う。 ω -graphの有向道を F の“挙動（behavior）”と言い，特に各頂点に対して，そのLoopを高々一つしか含まない挙動を“skelton behavior”と呼ぶ。 F に対応するinitial nodeが ω -nodeであり，かつ ω -nodeが閉路をもつならば，その閉路を構成する各弧のhandleの無限列は， F の一つのモデルを与える。

ω -graphは ω -language [3]に対する有限状態オートマトンと見なすことができる。従って， F をTLの式， G_F をその ω -graph， $L(F)$ を G_F に対応するオートマトンにより受理される言語とするならば，次の関係が成立する。

- (i) $F = F_1 \wedge F_2 \iff L(F) = L(F_1) \cap L(F_2)$
- (ii) $F = F_1 \vee F_2 \iff L(F) = L(F_1) \cup L(F_2)$
- (iii) $F = \text{true} \iff L(F) = \Sigma^\omega$
- (iv) $F = \text{false} \iff L(F) = \emptyset$
- (v) $F_1 \supset F_2 \iff L(F_1) \subseteq L(F_2)$

但し， \supset はあるアルファベットを表わす。 ω -languageの性質より，(v)の包含関係は決定可能である。

この対応関係に注意して，(v)の左辺の関係を決定するためにここでは次のような“containment algorithm”を用いる。今， F_1, F_2 をTLの式として $G_i, L(F_i)$ ($i=1, 2$) をそれぞれ F_i の ω -graph， F_i に対応する ω -languageとする。このとき $L(F_1) \supset L(F_2)$ が成立する（簡単のため，これを“ G_1 が G_2 を含む”と言う）か否かを決定するには，次の二つのルールを適用すればよい。

(1) [Checking Rule 1]

G_i のinitial nodeを N_i ($i=1, 2$) とする。頂点の組 (N_1, N_2) に対し，各 N_i を始点とする弧 E_j ($j=1, \dots, m_i$) のhandle H_{ij} について，次の条件が成り立つてゐるかを調べる。

$$(*) H_{2j} \supset \bigvee H_{1j} \quad \text{for each } j.$$

もし上式が成立していなければ， $L(F_1) \supset L(F_2)$ は成立しない。さもなければ，各 handle の組 (H_{1k}, H_{2k}) に対し，もし $H_{1k} \wedge H_{2k}$ が false ならば次の条件が成立しているかを調べる。

$$\bigcup_k L(F_{1k}) \supset L(F_{2k}).$$

但し， F_{1k}, F_{2k} はそれぞれ弧 E_{1k}, E_{2k} の終点の頂点に対応するTLの式を表わす。このルールは新たな頂点の組が現われなくなるまで適用する。

(2) [Checking Rule 2]

N_2 が ω -node であり， N_2 を含む閉路（その閉路の頂点の列を $(N_2, T_1, \dots, T_c, \dots, T_k, N_2)$ と書く）が存在する時は，更に次の二条件を満たすよう ω -node W_i が G_i に存在するか否かを確かめる。

(a) N_1 を始点とする behavior でその頂点の系列が $(N_1, \dots, S_m, W_i, \dots, S_n, W_i)$ と書ける。

(b) 頂点の無限列の組 $(N_1, \dots, S_m, (W_i, \dots, S_n, W_i)^\omega)$ と $(N_2, T_1, \dots, T_c, \dots, T_k, N_2)^\omega$ について，対応する順番の頂点の組は [Checking Rule 1] の条件 (*) を満たしている。

もしこのよう ω -node W_i が G_i に存在しなければ $L(F_1) \supset L(F_2)$ は成立しない。

この手続きは， G_1, G_2 の頂点の数は有限なので，明らかに終了する。

B. ω -graph 上の推論

プラント・コントローラに関する様々の推論は，そのダイナミクスに対応する ω -graph 上の簡単な決定問題に帰着される。典型的な推論として次のものが考えられる。

1. 制御規則の自動作成

制御規則の自動作成とは、システムを望ましい最終状態に導くよう \wedge 制御規則を自動的に導出する問題である。これは、Dynamics と Goal が与えられたとき、式：

$$\text{Dynamics} \wedge \text{Unknown Control Rules} \supset \text{Goal}.$$

を満足するような Unknown Control Rules の式を決定することである。 ω -graph を用いると、Goal の式に対応する ω -graph や、 $\text{Dynamics} \wedge \text{Unknown Control Rules}$ に対応する ω -graph を含む条件を求めるに他ならない。この手続きの例を IV で示す。II.B で述べたシステムの実現可能性・安定性・観測可能性という性質の検証も、対応する式の ω -graph を構成し、上述の containment algorithm を適用することにより行なわれる。

2. Qualitative Simulation と

Causal Argument

qualitative simulation [4] とは、システムの状態が時間とともにどのように推移してゆくか、すなわち、システムが現在の状態から到達しうる“定性的に異なる状態を次々に求めてゆく推論”である。これは次式を満足するような未知の状態の系列 X_1, X_2, \dots を決定することに他ならない。

$$\text{Dynamics} \wedge P \supset \diamond(\neg P \wedge X_1)$$

$$\text{Dynamics} \wedge X_1 \supset \diamond(\neg X_1 \wedge X_2)$$

...

但し、P は現在の状態を表わす述語である。この推論も ω -graph を用いて同様に行なえるが、この場合は skeleton behavior のみに着目すれば十分である。

causal argument [4] とは、システムを現在の状態に導いた過去の状態を見出す推論である。すなわち、

$$\text{Dynamics} \supset \diamond(X_1 \supset \diamond P),$$

$$\text{Dynamics} \supset \diamond(X_2 \supset \diamond X_1),$$

...

を満足するような過去の状態の系列 X_1, X_2, \dots を決定する問題であり、これは qualitative simulation を backward に行なうことになる。

IV. 具体例

ω -graph 上で制御規則の自動作成の手続きがどのように行なわれるかを見るために、II で述べたボイラーを例に取り上げる。

Figure 2 にボイラーの Frame Axioms と Dynamics に対応する ω -graph G_D を示す。 G_D を用いて、システムを最終的にある安定な状態、例えば $E_2 \vee E_3 \vee E_4$ に導く制御規則を見出すことを考える。この場合、制御規則 C は次式を満たす。

$$\text{Dynamics } D \wedge \text{Controls } C \supset \diamond \square(E_2 \vee E_3 \vee E_4)$$

ボイラーの制御規則は、

$$\text{if } E_i \text{ then } H \leftarrow \text{ON/OFF } (i=1, \dots, 5)$$

の形で表わされる。但し、 $H \leftarrow \text{ON/OFF}$ は、H が ON に setされるか、または OFF に setされるかいずれか一方のみおこることを示す。この規則を TL の式で書き換えると、

$$C \equiv \square[(E_1 \supset H_1) \wedge (E_2 \supset H_2) \wedge \dots \wedge (E_5 \supset H_5)] \\ \equiv \square[E_1 H_1 \wedge E_2 H_2 \wedge E_3 H_3 \wedge E_4 H_4 \wedge E_5 H_5]$$

となる。ここで、 H_i は

$$H_i = H / \neg H.$$

を満たす。

$D \wedge C$ に対応する ω -graph G_C は G_D に現われる E_i を $E_i H_i$ ($i=1, \dots, 5$) に置き換えたグラフになることは容易に分かる。

最初に、制御規則 C が実現可能性 $\diamond(E_2 \vee E_3 \vee E_4) \equiv \diamond E_2 \vee \diamond E_3 \vee \diamond E_4$ を満足する条件を考える。他の場合も同様に行なえるので、 $\diamond E_3$ を例にとって。この実現可能性 $\diamond E_3$ に対する ω -graph G_E を Figure 3 に示す。条件：

$$(A) \quad \text{Dynamics } D \wedge \text{Control } C \supset \diamond E_3$$

を満足するためには、 G_E が G_C を含まなければ

ければならない。Ⅲで述べた containment algorithm を (G_E, G_C) に対して適用する。ここで、 G_E の頂点 Ω , G_C の頂点 S_1, S_2 は ω -node であることに注意する。

1. initial node の組 (S_0, T_0) に対しまず G_C において S_0 から S_1 への弧に着目する。その handle は

$$E_1 H_1 \bar{H} F_0 \vee E_2 H_2 \bar{H} F_1$$

である。

2. 今、この弧が存在する、すなわちこの handle が false ではないと仮定する。次に、 (S_1, T_0) に対して、Checking Rule を適用する。

3. S_1 がループ $E_1 H_1 \bar{H} F_0$ をもつと仮定すると、 S_1 は ω -node であるから、behavior $(E_1 H_1 \bar{H} F_0)^\omega$ を含むことになる。しかるに、 T_0 は $(E_1)^\omega$ の形の behavior を持ち得ない。

4. 従って、もし

$$(E_1 H_1 \bar{H} F_0 + E_2 H_2 \bar{H} F_1) \cdot E_1 H_1 \bar{H} F_0 = \text{false}$$

ならば、(*) は満足されない。これより、

$$H_1 = H.$$

を得る。

5. 同様の議論を繰り返すことにより結局、次のように H_i に対する条件を導くことができる。

$$H_1 = H, \quad H_2 = H \quad H_4 = H \quad H_5 = H$$

安定性に対する要請も同様の手続きで行なわれ、最終的に次のよう制御規則を導出することができる。

if F_1 *then* $H \leftarrow ON$; *if* F_2 *then* $H \leftarrow ON$;
if F_4 *then* $H \leftarrow OFF$; *if* F_5 *then* $H \leftarrow OFF$

V. むすび

プラント・コントローラのようなダイナミカル・システムを形式的に取り扱う方法論として、Temporal Logic に基づいた記述・推論方法について述べた。推論方法として ω -graph によるアプローチを導入した。 ω -graph による表現は、システム・ダイナミクスについてのモデルを与える、その上で様々な推論を統一的に行なえるので、通常の natural deduction や tableau method よりもすぐれていると考えられる。現在、エキスパート・システムのような実際的应用のために、 ω -graph 上の推論を自動的に行なうシステムを開発中である。

[参考文献]

- [1] Manna,Z. and Pnueli,A. "Verification of Concurrent Programs, Part 1: The Temporal Framework," Report No. STAN-CS-81-836, Department of Computer Science, Stanford University, CA, June 1981.
- [2] Wolper,P.L., "Synthesis of Communicating Processes from Temporal Logic Specifications," Report No. STAN-CS-82-925, Department of Computer Science, Stanford University, CA, August 1982.
- [3] McNaughton,R., "Testing and Generating Infinite Sequences by a Finite Automaton," Information and Control 9 (1966) 521-530.
- [4] de Kleer,J. and Brown,J.S., "Foundations of Envisioning," In Proc. AAAI-82. Pittsburgh, Pennsylvania, August, 1982, pp. 434-437.

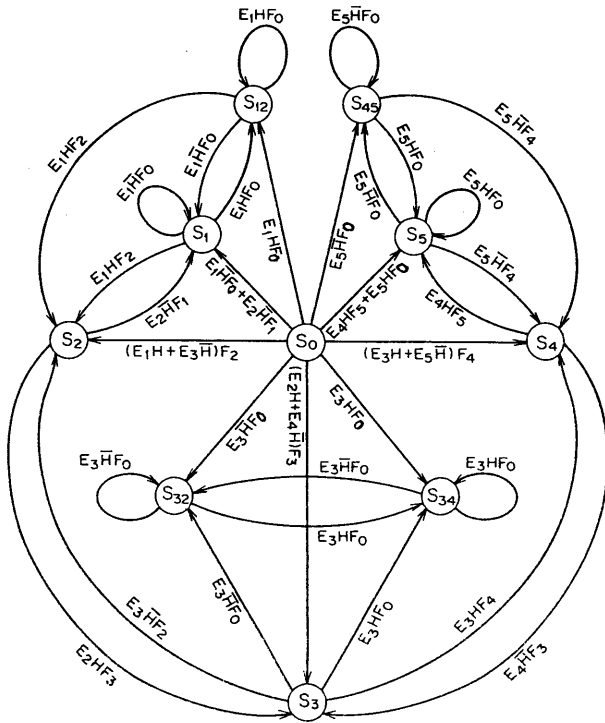


Fig.2 ω -graph G_D of the system dynamics

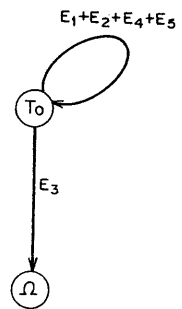


Fig.3 ω -graph G_E of the eventuality